

СИЛЬНІ ЕЛЕКТРИЧНІ ТА МАГНІТНІ ПОЛЯ

УДК 621.318

Ю.В. БАТЫГИН, д-р техн. наук, проф., зав. кафедры, ХНАДУ,
Харьков

А.В. ГНАТОВ, канд. техн. наук, доц., докторант, ХНАДУ,
Харьков

Е.А. ЧАПЛЫГИН, канд. техн. наук, доц., ХНАДУ, Харьков

И.С. ТРУНОВА, аспирант, ХНАДУ, Харьков

ИССЛЕДОВАНИЕ ЗАВИСИМОСТИ КОЭФФИЦИЕНТА ПЕРЕДАЧИ ЭНЕРГИИ ОТ ИНДУКТИВНОЙ НАГРУЗКИ В СОГЛАСУЮЩИХ УСТРОЙСТВАХ ЦИЛИНДРИЧЕСКОГО ТИПА

Статья посвящена определению зависимости коэффициента передачи энергии из первичной во вторичную обмотку согласующих устройств – импульсных трансформаторов тока цилиндрического типа, от значения индуктивной нагрузки. В ходе исследований проведено осциллографирование разрядных импульсов и экспериментально определен коэффициент передачи энергии в зависимости от индуктивности индукторной системы – нагрузки согласующего устройства.

Ключевые слова: импульсный трансформатор, индуктивная нагрузка, коэффициент передачи энергии, индукторная система, согласующие устройства.

Стаття присвячена визначення залежності коефіцієнта передачі енергії з первинної у вторинну обмотку погоджувальних пристройів – імпульсних трансформаторів струму циліндричного типу, від значення індуктивного навантаження. У ході досліджень проведене осцилографування розрядних імпульсів і експериментально визначений коефіцієнт передачі енергії залежно від індуктивності індукторної системи – навантаження пристрою, що погодить.

Ключові слова: імпульсний трансформатор, індуктивне навантаження, коефіцієнт передачі енергії, індукторна система, що погодять пристрой.

The paper is dedicated to energy-transfer coefficient (from primary to secondary) dependence determination on inductive load value in matching devices – cylindrical type pulse current transformers. The discharge pulse oscillograms have been measured and energy-transfer coefficient in the dependence on inductance of inductor system – matching device load has been experimentally determinated.

Keywords: pulse transformer, inductive load, energy-transfer coefficient, inductor system, matching devices.

Введение. Согласующее устройство представляет собой повышающий импульсный трансформатор тока, назначение которого состоит

© Ю.В. Батыгин, А.В. Гнатов, Е.А. Чаплыгин, И.С. Трунова, 2012

в увеличении амплитуды сигнала и в варьировании временных параметров каждого из импульсов.

По сути, согласующее устройство необходимо для согласования источника мощности – магнитно-импульсной установки с инструментом обработки – индукторной системой, что приводит к повышению эффективности выполнения заданной технологической операции.

Анализ основных достижений и публикаций. Согласующие устройства можно классифицировать по конструктивному исполнению на дисковые плоские, цилиндрические коаксиальные и др. (специальные конструкции) [1, 2]. Так в [3, 4] описываются конструктивные особенности плоских дисковых импульсных трансформаторов тока. Причем, в [4] приводится анализ существующих конструкций импульсных трансформаторов, предназначенных для получения больших токов – порядка единиц и десятков мегампер. В [5-8] рассмотрены конструктивные особенности специальных импульсных трансформаторов тока. В [9] описывается индуктор, состоящий из нескольких электрически изолированных секций, каждая из которых соединена со своим трансформатором тока. А авторы работы [10] рассматривают вопросы проектирования и исследования электрической эффективности одновитковых индукторов, на основании чего делают однозначный вывод, что наиболее перспективными являются одновитковые индукторы в сочетании с импульсным трансформатором.

Авторским коллективом лаборатории электромагнитных технологий Харьковского национального автомобильно-дорожного университета (ХНАДУ) разработан целый ряд согласующих устройств, использование которых позволило выполнять ранее трудно реализуемые, а порой и невозможные, технологические операции по восстановлению (удалению вмятин, прогибов, деформаций) поверхности тонкостенных листовых металлов [1, 11-13]. Это открывает совершенно новые возможности в обрабатывающей промышленности, т.к. операции по реставрации могут быть выполнены бесконтактно и без разборки корпусных элементов восстанавливаемых конструкций.

Цель работы: экспериментальное исследование зависимости коэффициента передачи энергии из первичной во вторичную обмотку согласующих устройств – импульсных трансформаторов тока цилиндрического типа, от значения индуктивной нагрузки, разработанных в лаборатории электромагнитных технологий ХНАДУ.

Условия эксперимента и эксперимент. Экспериментальные исследования проводились на комплексе для имитации и моделирования процессов в инструментах магнитно-импульсной обработки металлов,

разработанного в лаборатории электромагнитных технологий ХНАДУ [1] (рис. 1).

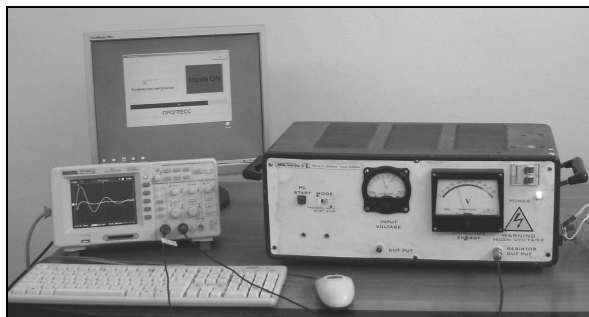


Рис. 1 – Комплекс для имитации и моделирования процессов в инструментах магнитно-импульсной обработки металлов.

Комплекс работает в серийном режиме генерирования разрядных импульсов, при следующих параметрах:

- напряжение питающей сети $\sim U_c=220$ В;
- максимальное напряжение заряда емкостных накопителей $U_3=650$ В;
- емкость конденсаторов комплекса $C=33$ мкФ;
- частота следования разрядных импульсов $f_{\text{имп.}}=20$ Гц;
- собственная частота разрядного импульса 30 кГц;
- амплитудное значение тока в импульсе 3000 А;
- форма сигнала – апериодически затухающая синусоида

Осциллограммы сигналов в разрядной цепи комплекса были получены с помощью цифрового осциллографа PV6501 через включенный в разрядную цепь шунт с сопротивлением $R_{\text{ш}}=12,5 \cdot 10^{-3}$ Ом, а также с помощью индукционного датчика – пояса Роговского.

При исследовании зависимости коэффициента передачи энергии от индуктивной нагрузки в согласующих устройствах цилиндрического типа было проведено следующие опыты:

- 1.Определение параметров комплекса для имитации и моделирования процессов в инструментах магнитно-импульсной обработки металлов и исследуемых индукторов:

 - 1.1.Осциллографирование разрядного импульса комплекса при его работе на закороченный выход.
 - 1.2.Осциллографирование разрядных импульсов при подключении комплекса для имитации и моделирования процессов в инструментах магнитно-импульсной обработки металлов раз-

личной индуктивной нагрузки (рис. 2):

- 1.2.1.Осциллографирование сигналов с нагрузкой в виде конического индуктора (рис. 2, а).
- 1.2.2.Осциллографирование сигналов с нагрузкой – плоская медная спираль с количеством витков $w=3,5$ (рис. 2, б).
- 1.2.3.Осциллографирование сигналов с нагрузкой – плоская медная спираль с количеством витков $w=1,5$ (рис. 2, в).
- 1.2.4.Осциллографирование сигналов с нагрузкой – плоская медная спираль с количеством витков $w=1$ (рис. 2, г).
- 1.2.5.Осциллографирование сигналов с нагрузкой – плоская медная спираль с количеством витков $w=0,5$ (рис. 2, д).

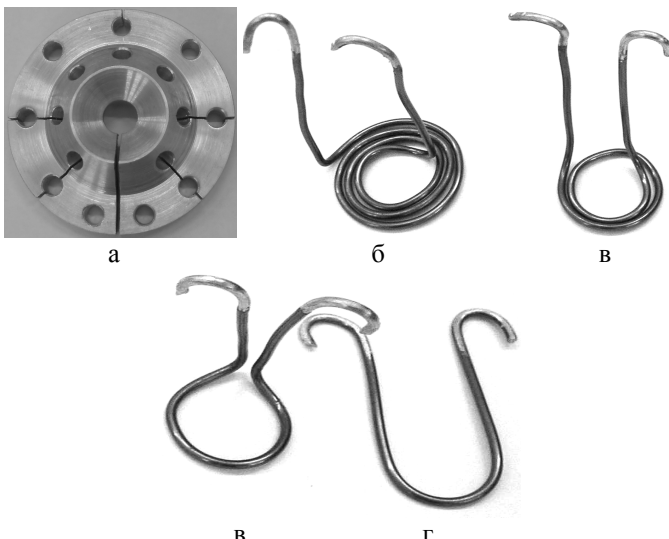


Рис. 2 – Исследуемые индукторы: а – конический; б – плоская медная спираль с количеством витков $w=3,5$; в – плоская медная спираль с количеством витков $w=1,5$; г – плоская медная спираль с количеством витков $w=1$; д – плоская медная спираль с количеством витков $w=0,5$.

2.Исследование параметров цилиндрического согласующего устройства с одним разомкнутым вторичным витком. Внешний вид исследуемого согласующего устройства – импульсного трансформатора тока с подключенным к нему коническим индуктором представлен на рис. 3.

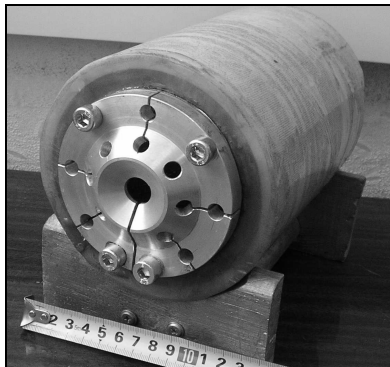


Рис. 3 – Внешний вид импульсного трансформатора тока с подключенным к нему коническим индуктором.

- 2.1.Во вторичную обмотку согласующего устройства подключен *конический индуктор*.
- 2.2.Во вторичную обмотку согласующего устройства подключен *индуктор в виде плоской спирали с количеством витков $w=3,5$* .
- 2.3.Во вторичную обмотку согласующего устройства подключен *индуктор в виде плоской спирали с количеством витков $w=1,5$* .
- 2.4.Во вторичную обмотку согласующего устройства подключен *индуктор в виде плоской спирали с количеством витков $w=1$* .
- 2.5.Во вторичную обмотку согласующего устройства подключен *индуктор в виде плоской спирали с количеством витков $w=0,5$* .

Посредством шунта, подключенного в разрядную цепь комплекса, получены осцилограммы разрядного импульса в *первичной обмотке* согласующего устройства. С помощью индукционного датчика – пояса Роговского получены осцилограммы разрядных импульсов в *первичной и вторичной обмотке* согласующих устройств.

- 3.Исследование параметров цилиндрического согласующего устройства с двумя вторичными коаксиально расположеннымми витками. Внешний вид исследуемого согласующего устройства – импульсного трансформатора тока с подключенным к нему коническим индуктором представлен на рис. 4.

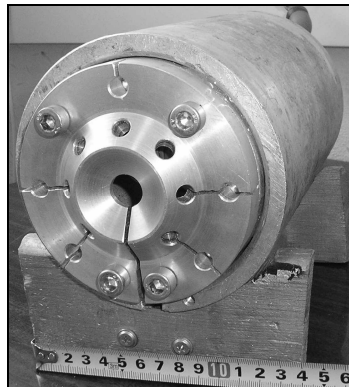


Рис. 4 – Внешний вид исследуемого согласующего устройства.

По пункту 3 были проведены исследования, идентичные пункту 2. В соответствии с перечнем экспериментальных исследований были получены осциллограммы. На рис. 5 представлена осциллограмма разрядного сигнала комплекса для имитации и моделирования процессов в инструментах магнитно-импульсной обработки металлов (выход закорочен, сигнал измерен с шунта, делитель 1×10). На рис. 6 представлены осциллограммы разрядных сигналов комплекса, нагрузка – медный многовитковый индуктор (количество витков w , сигнал измерен с шунта, делитель 1×10).

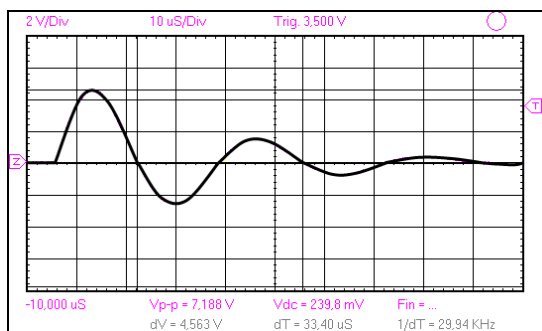


Рис. 5 – Осциллограмма разрядного сигнала комплекса для имитации и моделирования процессов в инструментах магнитно-импульсной обработки металлов.

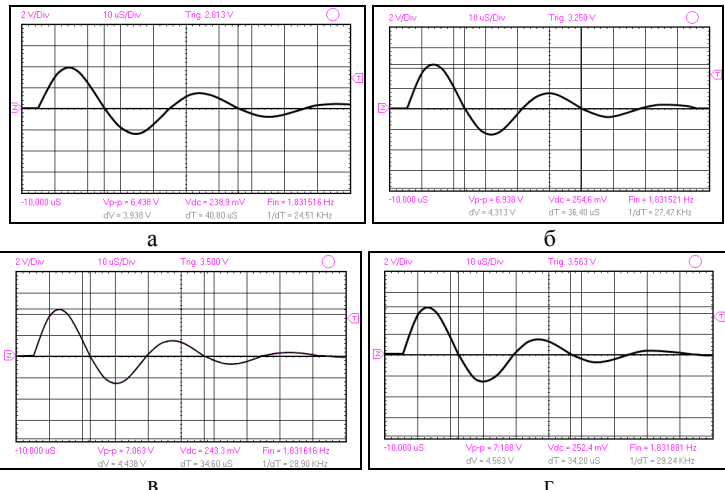


Рис. 6. Осциллографммы разрядных сигналов комплекса, нагрузка – медный многовитковый индуктор (количество витков w , сигнал измерен с шунта, делитель 1×10): а – $w=3,5$; б – $w=1,5$; в – $w=1$; г – $w=0,5$

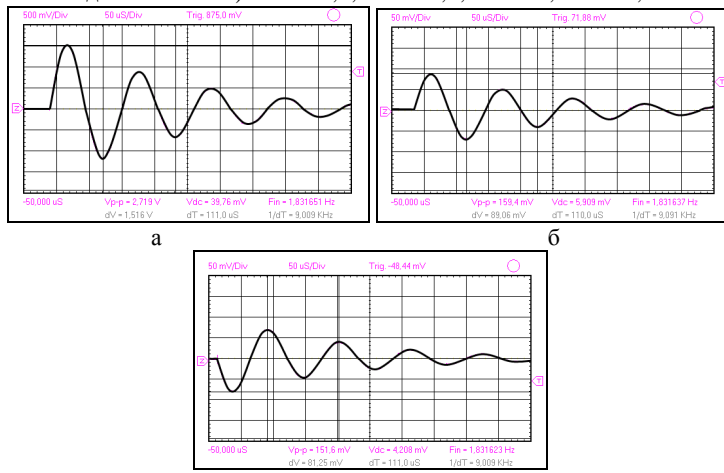


Рис. 7 – Осциллографммы разрядных сигналов при подключенном цилиндрическом согласующем устройстве с индуктором в виде плоской спирали, $w=3,5$: а – сигнал измерен с шунта в первичной цепи (делитель 1×10); б – сигнал измерен с помощью пояса Роговского в первичной цепи (1×1); в – сигнал измерен с помощью пояса Роговского во вторичной цепи (делитель 1×1).

Для сравнительного примера приведем осциллограммы, полученные в ходе проведения экспериментов по пунктам 2 и 3. Осциллограммы разрядных сигналов при подключенном цилиндрическом согласующем устройстве с индуктором в виде плоской спирали, $w=3,5$ (рис. 7) и осциллограммы разрядных сигналов при подключенном цилиндрическом согласующем устройстве с двумя вторичными коаксиально расположенными витками и индуктором в виде плоской спирали, $w=3,5$ (рис. 8).

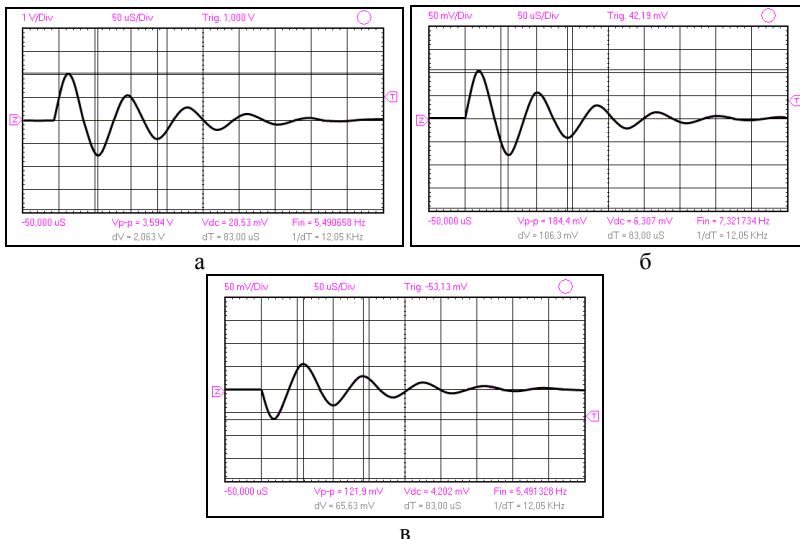


Рис. 8. Осциллограммы разрядных сигналов при подключенном цилиндрическом согласующем устройстве с двумя вторичными коаксиально расположенными витками и индуктором в виде плоской спирали, $w=3,5$: а – сигнал измерен с шунта в первичной цепи (делитель 1×10); б – сигнал измерен с помощью пояса Роговского в первичной цепи (делитель 1×10); в – сигнал измерен с помощью пояса Роговского во вторичной цепи (делитель 1×10).

Обработка экспериментальных данных. Индуктивность L вычисляется по измеренным осциллограммам по формуле:

$$L = \frac{1}{\omega^2 \cdot C}. \quad (1)$$

где $\omega = 2\pi f$ – угловая частота разрядного импульса, рад/с; C – емкость накопителя энергии, Φ .

Результаты обработки измеренных осциллограмм сведены в табл. 1.

Таблица 1 – Результаты обработки измеренных осциллографм.

Объект исследования	f , Гц	ω , рад/с	$L_{\text{общая}}$, нГн	$L_{\text{инд.}}$, нГн
Закороченный вывод	29940	188023,2	857	-
Медный многовитковый индуктор $w=3,5$	24270	153922,8	1279	422
Медный многовитковый индуктор $w=1,5$	27170	172511,6	1018	161
Медный многовитковый индуктор $w=1$	28900	181492	920	63
Медный многовитковый индуктор $w=0,5$	2924	183627,2	898	42
Конический индуктор	-	-	-	30

Индуктивность цилиндрического индуктора, рабочая область которого в сечении имеет форму усеченного конуса (конический индуктор), была измерена в предыдущих экспериментах [14].

Коэффициент передачи энергии, из первичной обмотки во вторичную (коэффициент трансформации по току), цилиндрического согла-сующего устройства с одним разомкнутым вторичным витком, опре-деляется отношением амплитудного значения сигнала во вторичной обмотке к амплитудному значению сигнала в первичной обмотке.

- Конический индуктор – $K_{\text{тр}} \approx 6,4$.
- Индуктор в виде плоской спирали, $w=3,5$ – $K_{\text{тр}} \approx 0,9$.
- Индуктор в виде плоской спирали, $w=1,5$ – $K_{\text{тр}} \approx 1,7$.
- Индуктор в виде плоской спирали, $w=1$ – $K_{\text{тр}} \approx 3,1$.
- Индуктор в виде плоской спирали, $w=0,5$ – $K_{\text{тр}} \approx 3,5$.

Коэффициент передачи энергии, из первичной обмотки во вторичную (коэффициент трансформации по току), цилиндрического согла-сующего устройства с двумя вторичными коаксиально расположены-ми витками, определяется отношением амплитудного значения сиг-нала во вторичной обмотке к амплитудному значению сигнала в первичной обмотке.

- Конический индуктор – $K_{\text{тр}} \approx 4,7$.
- Индуктор в виде плоской спирали, $w=3,5$ – $K_{\text{тр}} \approx 0,6$.
- Индуктор в виде плоской спирали, $w=1,5$ – $K_{\text{тр}} \approx 1,25$.
- Индуктор в виде плоской спирали, $w=1$ – $K_{\text{тр}} \approx 2,5$.
- Индуктор в виде плоской спирали, $w=0,5$ – $K_{\text{тр}} \approx 2,9$.

Сравнение результатов обработки экспериментальных данных.

Сравнительный анализ обработки экспериментальных исследований

цилиндрических согласующих устройств с различной индуктивной нагрузкой представлен в табл. 2.

Таблица 2 – Анализ обработки экспериментальных исследований.

№ п/п	Исследуемый индуктор	L инд., нГн	K_{tp}	
			Согл. уст- ройство 1 втор. ви- ток	Согл. уст- ройство 2 втор. ви- тка
1	Конический индуктор	30	6,4	4,7
2	Индуктор в виде плоской спирали, $w=0,5$	42	3,5	2,9
3	Индуктор в виде плоской спирали, $w=1$	63	3,1	2,5
4	Индуктор в виде плоской спирали, $w=1,5$	161	1,7	1,25
5	Индуктор в виде плоской спирали, $w=3,5$	422	0,9	0,6

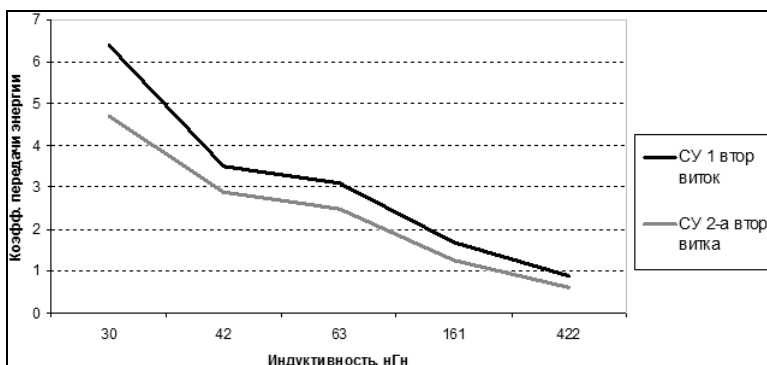


Рис. 9 – График изменения коэффициента передачи энергии.

По значениям основных характеристик исследуемых устройств построен график изменения коэффициента передачи энергии в исследуемых согласующих устройствах в зависимости от индуктивности индуктора (рис. 9).

Выводы. Проведенные экспериментальные исследования с последующей их обработкой позволяет сделать следующие выводы.

1. В ходе проведения экспериментальных исследований были определены индуктивности индукторов, которые являлись нагрузкой для исследуемых согласующих устройств.

2. Проведенные исследования показали, что коэффициент передачи энергии из первичной обмотки во вторичную у исследуемых согла-

сующих устройств зависит от значения индуктивности нагрузки (индукторных систем подключаемых к согласующим устройствам).

3. Данный тип согласующих устройств способен эффективно работать с индукторными системами, с низким значением индуктивности ≤ 50 нГн. Увеличение индуктивности индукторов больше 50 нГн, приведет к значительному снижению коэффициента передачи энергии из первичной обмотки во вторичную.

Список литературы: 1. Туренко А.Н. Импульсные магнитные поля для прогрессивных технологий. Теория и эксперимент притяжения тонкостенных металлов импульсными магнитными полями / А.Н. Туренко, Ю.В. Батыгин, А.В. Гнатов. – Т. 3, – Харьков: ХНАДУ, 2009. – 240 с. 2. Справочник по магнитно-импульсной обработке металлов / [авт. сот. И.В. Бельй, С.М. Фертик, Л.Т. Хименко]. – Харьков: Вища школа, 1977. – 190с. 3. Vorrichtung zur Formung von Werkstückken durch Anwendung magnetischer Impulse / Gulf General Atomic Incorp., San Diego, California (США); Авт. изобрет. F.D. Brolon, G.B. Hayward. – Заявл. 29.11.63. – № Р 1464646.9-14 (G 39271); Опубл. 19.05.71; Приор. 30.11.62. – № 3231842, США; МКИ В 21 D 26/14, Н 01 F (7c 26/14, 21 D 2/49, 21 G 1/02). 4. Импульсный согласующий трансформатор / Г.М. Гончаренко, В.А. Галкин, Ю.И. Гужавин, Ю.А. Попов, И.А. Галкин. – В кн.: Высоковольтная импульсная техника. Чебоксары: Чуваш. гос. ун-т им. И.Н. Ульянова, 1976. – Вып.3. – С. 27-34. 5. А.с. 792298 (СССР). Импульсный трансформатор / Харк. политехнико ин-т им. В.И. Ленина. Авт. изобрет. Л.Т. Хименко. – Заявл. 24.04.78. – № 2607647/24-07; Опубл. в Б.И., 1980. – № 48; МКИ Н 01 F 19/08, В 21 D 26/14. 6. А.с. 675456 (СССР). Импульсный трансформатор / Харк. политехнико ин-т им. В.И. Ленина. Авт. изобрет. Л.Т. Хименко. – Заявл. 03.05.77. – № 2482198/27-07; Опубл. в Б.И., 1979. – № 27; МКИ Н 01 F 19/08, В 21 D 26/14. 7. А.с. 756496 (СССР). Импульсный трансформатор / Харк. политехнико ин-т им. В.И. Ленина. Авт. изобрет. Л.Т. Хименко. – Заявл. 27.01.78. – № 2574788/24-07; Опубл. в Б.И., 1980. – № 30; МКИ Н 01 F 19/08, В 21 D 26/14. 8. А.с. 548341 (СССР). Согласующее устройство к магнитно-импульсной установке / Харк. политехнико ин-т им. В.И. Ленина. Авт. изобрет. Л.Т. Хименко. – Заявл. 04.02.75. – № 2101814/27; Опубл. в Б.И., 1977. – № 8; МКИ В 21 D 26/14. 9. Пат. 146403 (ГДР). Vorrichtung zur elektromagnetischen Hochenergieimpulsumformung / H. – P. Scheibe, V. Fischer. – Заявл. 11.10.79. – № 216169; Опубл. 11.02.81; МКИ В 21 D 26/14. 10. Исследование и разработка одновитковых индукторов / В.А. Галкин, О.М. Мосолов, Ю.А. Попов, Е.М. Шалунов. – В кн.: Высоковольтная импульсная техника. Чебоксары: Чуваш. гос. ун-т им. И.Н. Ульянова, 1976. – Вып.3. – С. 55-62. 11. Пат. 53969 України, В21 D 26/14. Узгоджувальний пристрій-циліндричний з двома співвісними вторинними витками / Ю.В. Батигін, А.В. Гнатов, Г.С. Сериков, С.О. Чаплигін, С.О. Драченко; заявник та патентовласник Харківський нац. автом.-дорожн. ун-т. – № 201004291 заявл. 13.04.2010; опубл. 25.10.2010, Бюл. № 20. 12. Анализ электродинамических процессов в согласующем устройстве "дискового" типа:

VIII Українсько-Польської конференції молодих науковців ["Механіка та інформатика"], (12-14 травня 2011 р.) Тези наукових праць. / Ю.В. Батыгин, А.В. Гнатов, І.С. Трунова. – Хмельницький: Хмельницький національний університет, 2011. – С. 19-21. **13.** Батыгин Ю.В. Экспериментальные исследования магнитно-импульсного притяжения тонкостенных листовых металлов / Ю.В. Батыгин, С.Ф. Головащенко, А.В. Гнатов, Д.О. Смирнов // Електротехніка і електромеханіка. – Харків: 2010. – № 3 – С. 39-41. **14.** Гнатов А.В. Экспериментальные исследования индукторов-инструментов для МИОМ / А.В. Гнатов, Е.А. Чаплыгин // Харків: Вісник НТУ "ХПІ". 2012. – № 116 – С. 56.

Поступила в редколлегию 24.10.2012



Батыгин Юрій Вікторович, професор, доктор технических наук. Защитил диплом инженера, диссертации кандидата и доктора технических наук, последнюю в Харьковском политехническом институте по специальности техника сильных электрических и магнитных полей, соответственно в 1972, 1977, 1993 гг. Заведующий кафедрой "Физика" Харьковского национального автомобильно-дорожного университета с 2009 г. Основные направления научной деятельности: магнитно-импульсная обработка листовых металлов.



Гнатов Андрей Вікторович, доцент, кандидат технических наук. Защитил диплом инженера, диссертацию кандидата технических наук в Харьковском военный университет по специальности вооружение и военная техника, соответственно в 1998, 2004 гг. Доцент кафедры "Автомобильная электроника" Харьковского национального автомобильно-дорожного университета. Основные направления научной деятельности: магнитно-импульсная обработка листовых металлов.



Чаплигин Євгеній Александрович – кандидат технических наук. Защитил диплом инженера, диссертацию кандидата технических наук в Национальном техническом университете "ХПІ" по специальности техника сильных электрических и магнитных полей, соответственно в 2003, 2009 гг. Доцент кафедры физики Харьковского национального автомобильно-дорожного университета. Основные направления научной деятельности: магнитно-импульсная обработка листовых металлов.



Трунова Ирина Сергеевна – защитила диплом инженера, аспирант Харьковского национального автомобильно-дорожного университета. Ассистент кафедры автомобильной электроники Харьковского национального автомобильно-дорожного университета. Основные направления научной деятельности: магнитно-импульсная обработка листовых металлов.